

8-5 地殻活動総合観測線最近1年／近畿の10年の観測結果

Continuous Observation of Crustal Deformations at Observation Networks in Central Kinki and Southeast Kyushu District.

京都大学防災研究所附属地震予知研究センター
Reserch Center for Earthquake Prediction,
Disaster Prevention Research Institute, Kyoto University

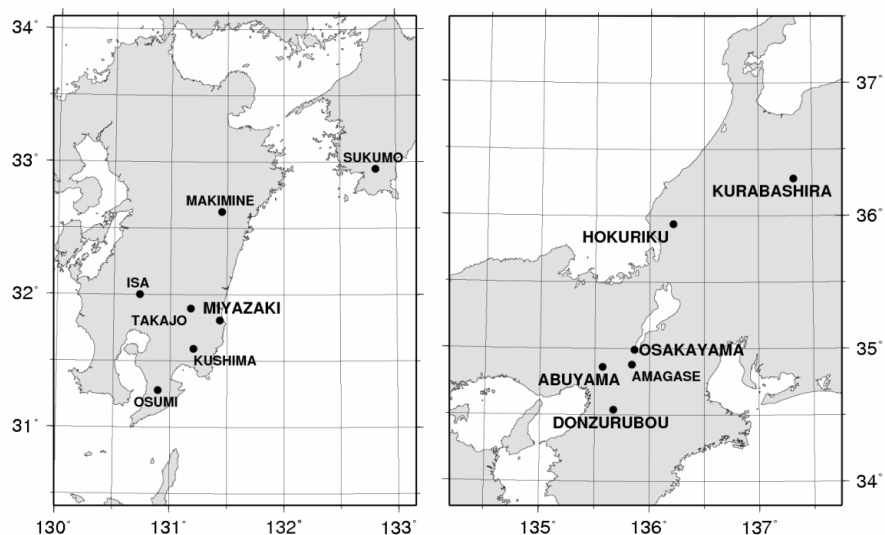
近畿・北陸地方および日向灘地殻活動総合観測線の主要点の坑道内歪観測結果の最近1年分を示す。長期的な2003年以降のトレンド変化も継続しており、近畿主要点については、1999年以来現在までの記録も併せて示す。

2012年8月13日夜から14日朝にかけて宇治市を襲った豪雨により流出した土砂が、天ヶ瀬観測室の坑道入り口周辺に堆積し、観測坑道の入り口がふさがれてしまった。堆積した土砂の量は数千トンと推定され、原状回復は困難と判断し、残念ながら観測の継続を断念した。

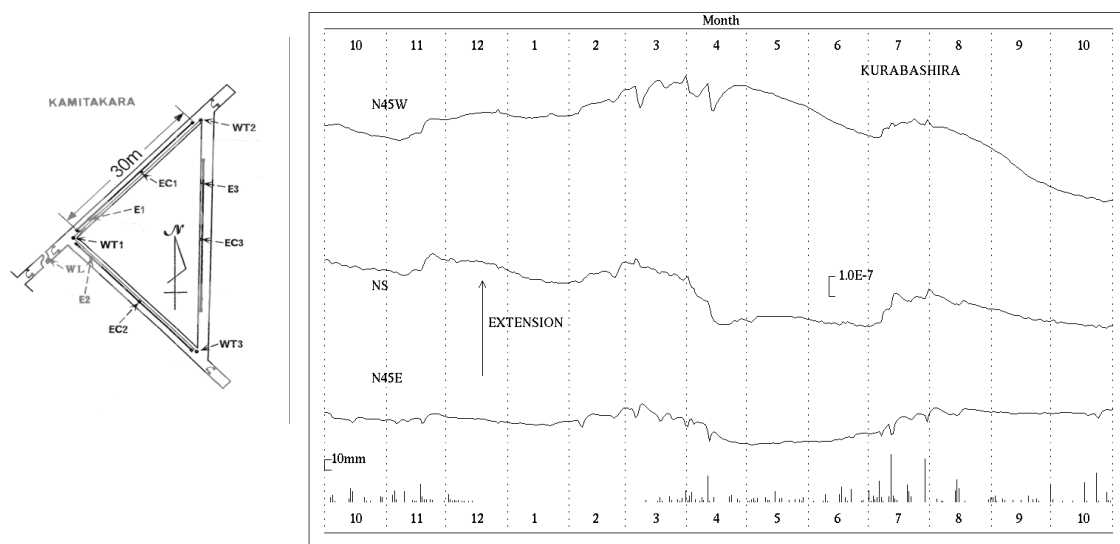
阿武山観測室の電源設備は11月に入って復旧した。

地殻活動総合観測線最近 1 年/近畿の 10 年の観測結果

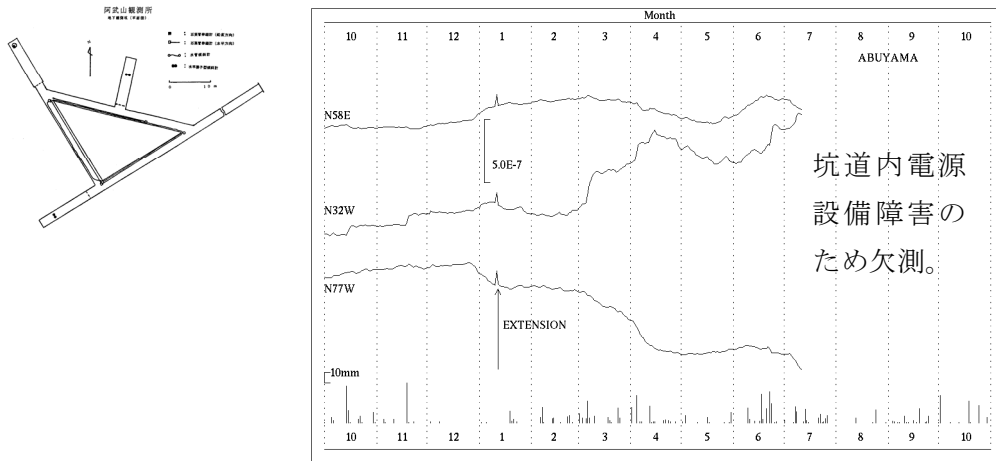
京都大学防災研究所附属地震予知研究センター



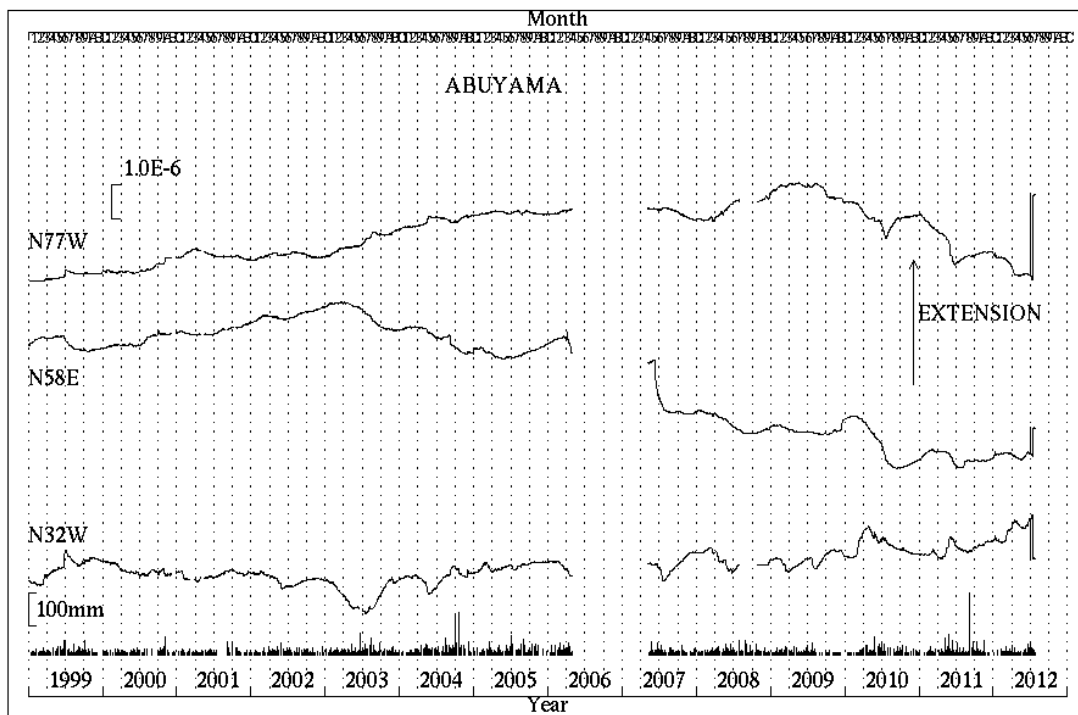
第 1 図 観測点配置
Fig.1 Location map of observatories.



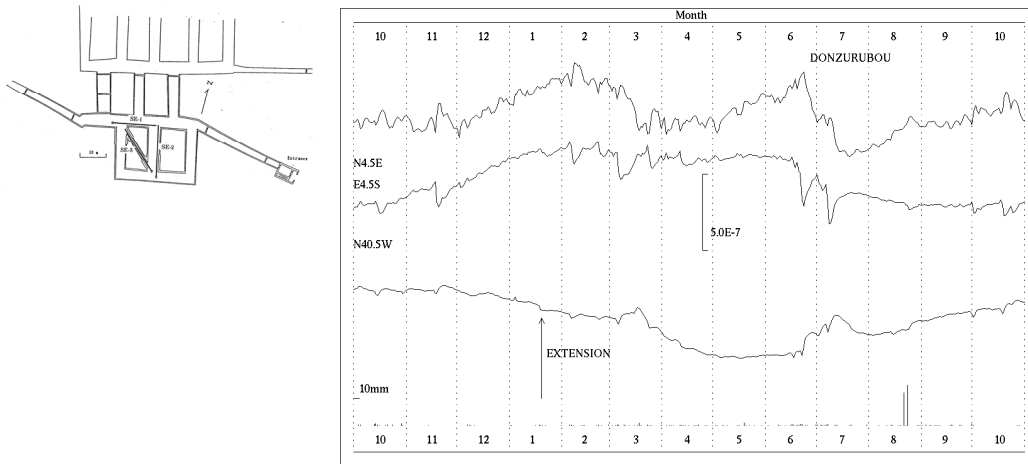
第 2 図 上宝観測所蔵柱観測室における歪変化と日雨量 (2011 年 10 月～2012 年 10 月)
Fig.2 Strain changes and daily precipitation at Kurabashira observatory.
(Oct.01,2011～Oct.31,2012).



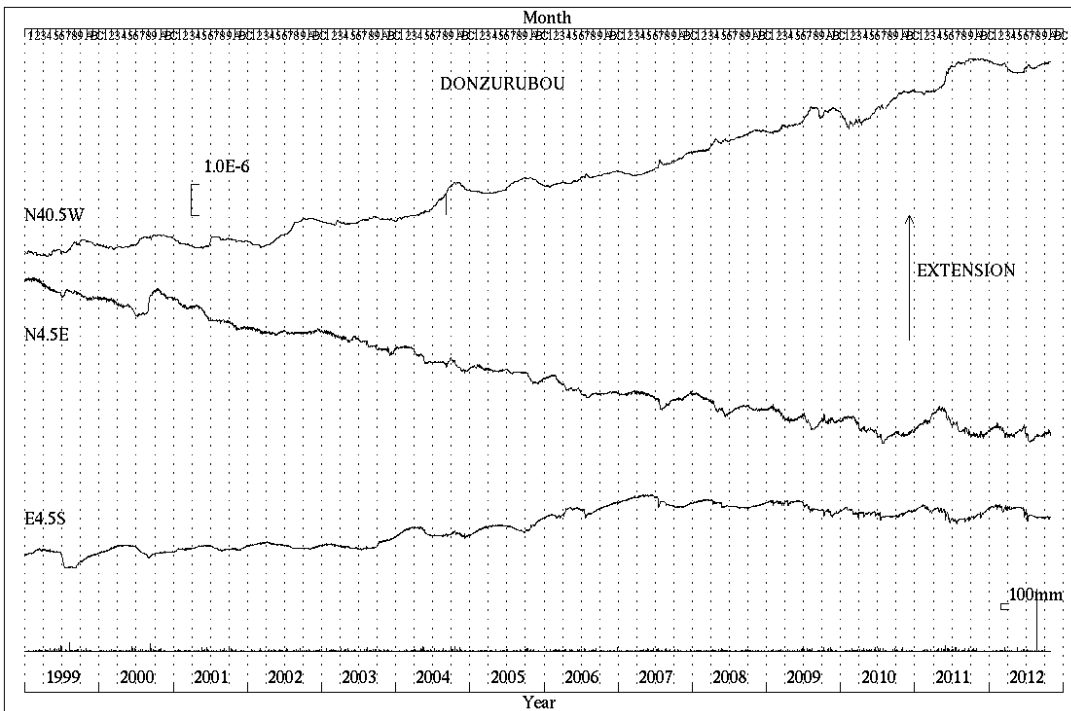
第3図 a 阿武山観測所における歪変化と日雨量 (2011年10月～2012年10月)
 Fig.3a Strain changes and daily precipitation at Abuyama observatory.
 (Oct.01,2011～Oct.31,2012).



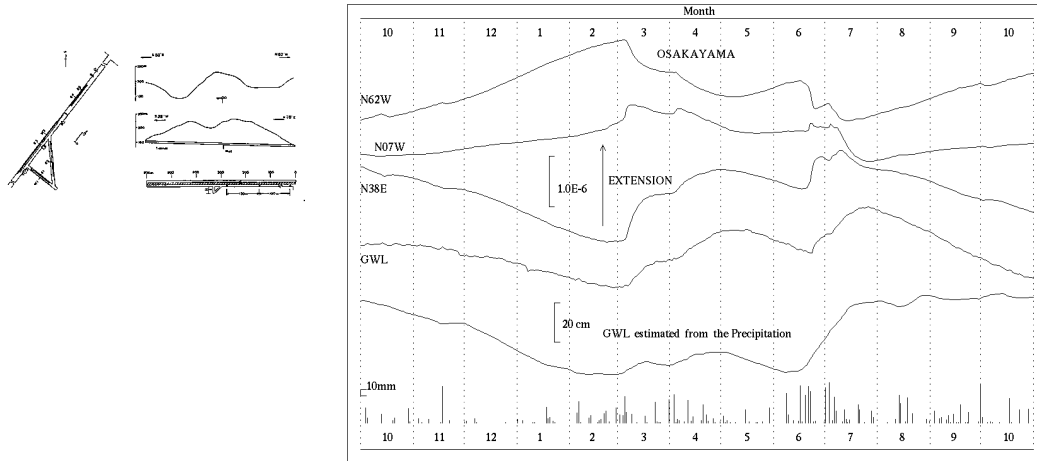
第3図 b 阿武山観測所における歪変化と日雨量 (1999年1月～2012年10月)
 Fig.3b Strain changes and daily precipitation at Abuyama observatory.
 (Jan. 1,1999 ～ Oct.31,2012).



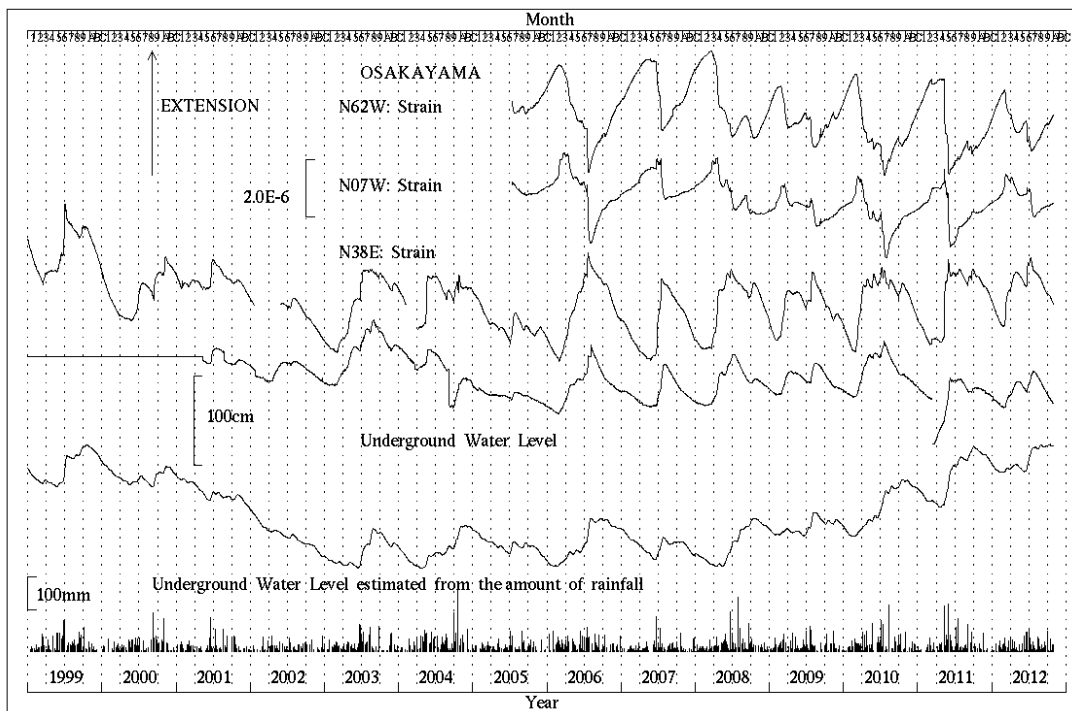
第4図 a 屯鶴峯観測所における歪変化と日雨量 (2011年10月～2012年10月)
 Fig.4a Strain changes and daily precipitation at Donzurubo observatory.
 (Oct.01,2011～Oct.31,2012).



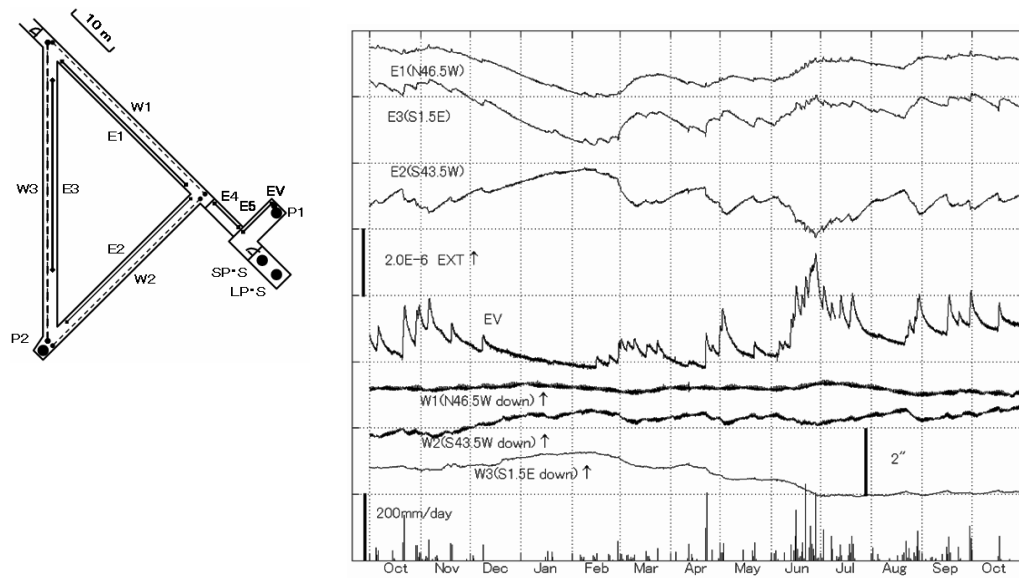
第4図 b 屯鶴峯観測所における歪変化と日雨量 (1999年1月～2012年10月)
 Fig.4b Strain changes and daily precipitation at Donzurubo observatory.
 (Jan. 1,1999 ~ Oct.31,2012).



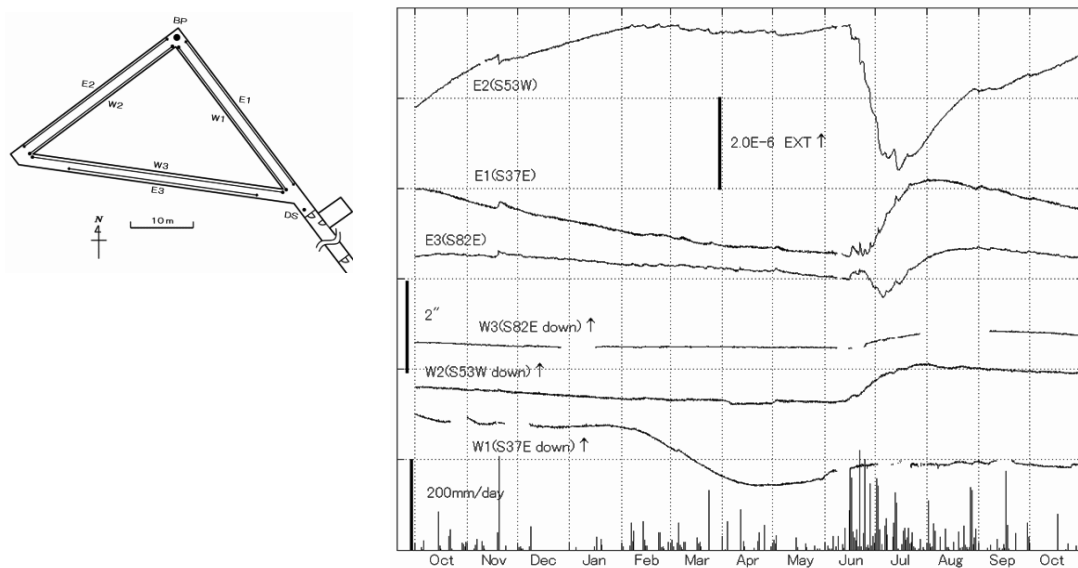
第5図 a 逢坂山観測所における歪変化と日雨量 (2011年10月~2012年10月)
 Fig.5a Strain change, underground water level and daily precipitation at Osakayama observatory. (Oct.01,2011~Oct.31,2012).



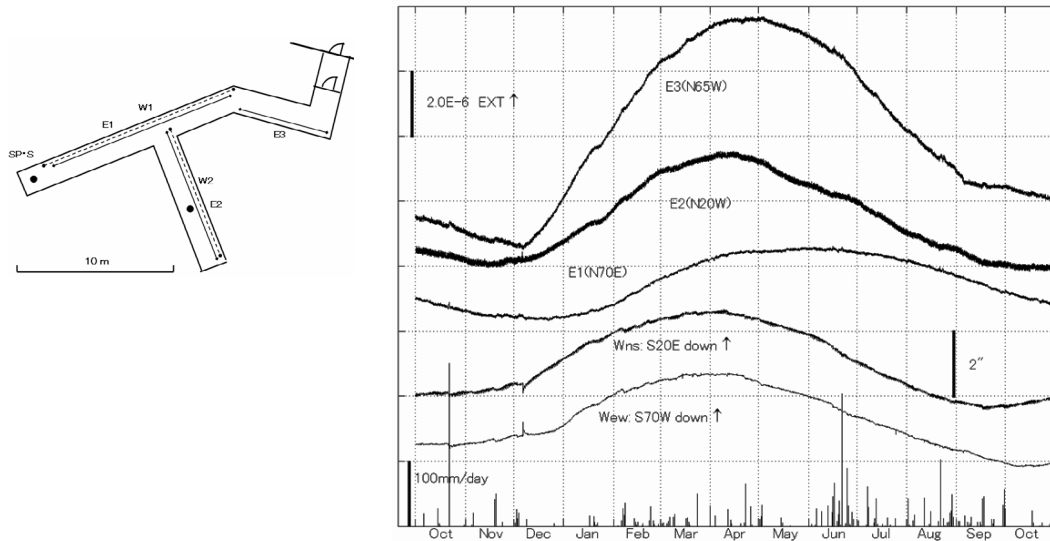
第5図 b 逢坂山観測所における歪変化と日雨量 (1999年1月~2012年10月)
 Fig.5b Strain change, underground water level, daily precipitation and estimated underground water level from precipitation at Osakayama observatory. (Jan. 1,1999 ~ Oct.31,2012).



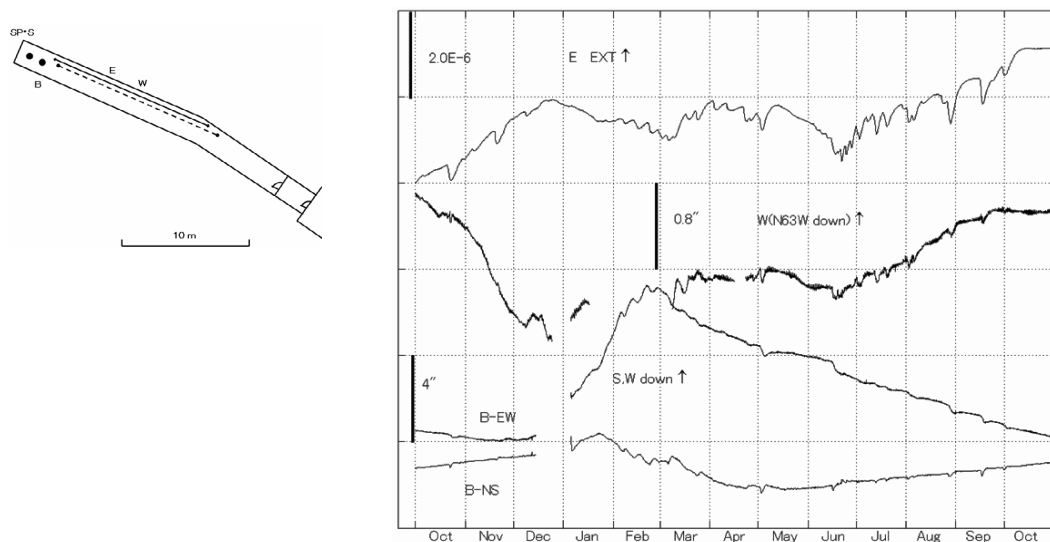
第6図 宮崎観測所における歪・傾斜変化と日雨量 (2011年10月～2012年10月)
 Fig.6 Strain changes, tilt changes and daily precipitation at Miyazaki observatory.
 (Oct. 01, 2011～Oct. 31, 2012).



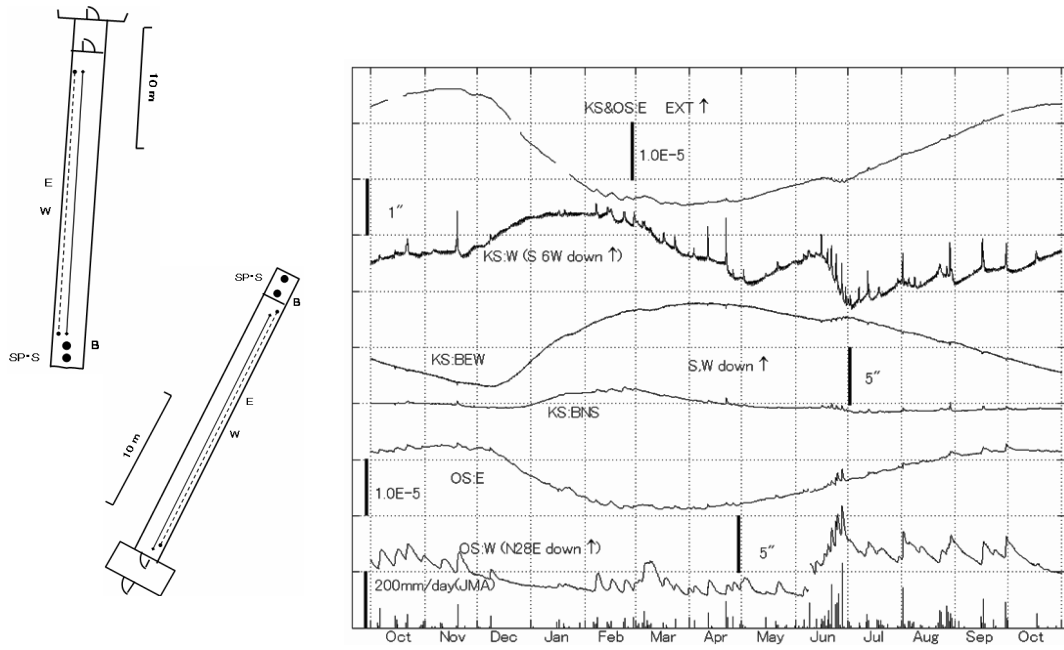
第7図 伊佐観測所における歪・傾斜変化と日雨量 (2011年10月～2012年10月)
 Fig. 7 Strain changes, tilt changes and daily precipitation at Isa station.
 (Oct. 01, 2011～Oct. 31, 2012).



第8図 宿毛観測所における歪変化と日雨量 (2011年10月～2012年10月)
 Fig.8 Strain changes, tilt changes and daily precipitation at Sukumo station.
 (Oct. 01, 2011～Oct. 31, 2012).



第9図 高城観測所における歪変化と傾斜変化 (2011年10月～2012年10月)
 Fig.10 Strain changes and tilt changes at Takajo station.
 (Oct. 01, 2011～Oct. 31, 2012).



第 10 図 串間・大隈観測所における歪・傾斜変化 (2011 年 10 月～2012 年 10 月)
 Fig.10 Strain changes and tilt changes at Kushima, and Ohsumi station.
 Lowest bar graph is daily precipitation at Tashiro, nearest station by JMA.
 (Oct. 0 1, 2011～Oct. 3 1, 2012).